

气相色谱法测定人血浆中非洛地平浓度及药代动力学

杨丽莉 袁倚盛 戴晓莉*

(南京军区南京总医院仪器分析室, 南京 210002)

摘要 采用气相色谱—电子捕获检测法测定人血浆中非洛地平浓度, 研究中国男性正常人口服该药的药代动力学规律, 为临床用药提供依据。血浆样品经乙醚—正己烷(2:1)萃取浓缩后进行测定。结果表明非洛地平浓度在 $0.5\sim10\text{ ng}\cdot\text{ml}^{-1}$ 范围内线性良好($\gamma=0.9991$)。此法简便易行, 精密度好, 日内、日间的RSD分别小于5.09%及8.62%。回收率平均为 $97.3\%\pm4.0\%$ 。测定了10名健康者单次口服非洛地平10 mg后不同时间的血药浓度并计算了相应的药代动力学参数。

关键词 非洛地平; 气相色谱—电子捕获; 药代动力学

非洛地平(felodipine)为第2代二氢吡啶类钙拮抗剂, 主要用于治疗高血压, 1988年在丹麦上市后, 迅速占领国际市场。非洛地平可抑制小动脉平滑肌细胞外钙的内流, 通过对外周血管的松弛作用, 降低血压, 增加心输出量, 并有轻度的利尿和尿钠增多的作用^[1~3]。由于口服药量少, 肝脏首过作用大, 生物利用度低, 因此血药浓度很低。文献报道的测定方法大都提取步骤繁琐、耗时长、回收率也不高^[4~6]。本文采取混和溶剂提取, 方法简单, 杂质少, 无干扰而且回收率高, 重现性好。用本方法测定了10名健康志愿者单次口服非洛地平片后的血药浓度, 并根据体内血药浓度数据拟合了药代动力学参数, 研究了中国男性正常人口服非洛地平的药代动力学规律, 为国内该药的开发和临床用药提供了依据。

材料与方法

仪器与试剂 1001型气相色谱仪-⁶³Ni电子捕获检测器(上海分析仪器厂)。非洛地平标准对照品(扬州制药厂); 非洛地平片(扬州制药

厂, 批号960401); 内标尼莫地平(中国药科大学), 其他试剂均为分析纯级, 所有水溶液均用二次蒸馏水配制。

标准溶液配制 精密称取非洛地平适量, 用乙酸乙酯溶解定容, 配成浓度为 $1.00\text{ mg}\cdot\text{ml}^{-1}$ 储备液, 4℃冰箱保存, 临用时用乙酸乙酯稀释成 $0.25\text{ }\mu\text{g}\cdot\text{ml}^{-1}$ 。内标尼莫地平用乙酸乙酯精密配成 $2.0\text{ }\mu\text{g}\cdot\text{ml}^{-1}$ 溶液, 4℃冰箱保存。

色谱条件 色谱柱: 2 m×3 mm(ID)硅烷化玻璃柱, 内填5% SE-30, 担体 Chromosorb W DMCS(80~100目)。温度: 检测器310℃, 气化室290℃, 柱箱270℃。载气: 氮气(99.999%)。流量: $25\text{ ml}\cdot\text{min}^{-1}$ 。检测器:⁶³Ni电子捕获检测器。脉冲电流: 1.0 nA。

血浆样品的处理与测定 取肝素抗凝血浆2.0 ml, 精密加入内标溶液 $10.0\text{ }\mu\text{l}$ (20 ng), 饱和K₂CO₃溶液 $100\text{ }\mu\text{l}$, 用乙醚—正己烷(2:1, v/v)3.5 ml提取两次, 振荡1 min, 离心($3000\text{ r}\cdot\text{min}^{-1}$, 5 min), 取上清液在空气流下35℃吹干。残留物以乙酸乙酯50 μl溶解, 进样 $2.0\text{ }\mu\text{l}$ 。

药代动力学研究 健康青年男性志愿者10名, 年龄 23.1 ± 1.0 岁, 体重 61.4 ± 5.1 kg, 均经体检证实肝、心、肾功能正常, 试验前1周

本文于1997年9月16日收到。

* 第二军医大学实习生

及受试期间,受试者不得服用其他药物。受试者晨起空腹一次 po 非洛地平片 10 mg,于服药前及服药后 0.5, 1.0, 2.0, 3.0, 4.0, 6.0, 8.0, 12.0, 24.0 h 各抽血 5 ml, 分离血浆, -20℃ 冰箱保存,供血药浓度测定用。

结 果

1 色谱行为

所选定的色谱条件,非洛地平及内标尼莫地平与血浆中杂质分离良好,非洛地平及内标尼莫地平的保留时间分别为 4.95 min 和 9.69 min(图 1)。

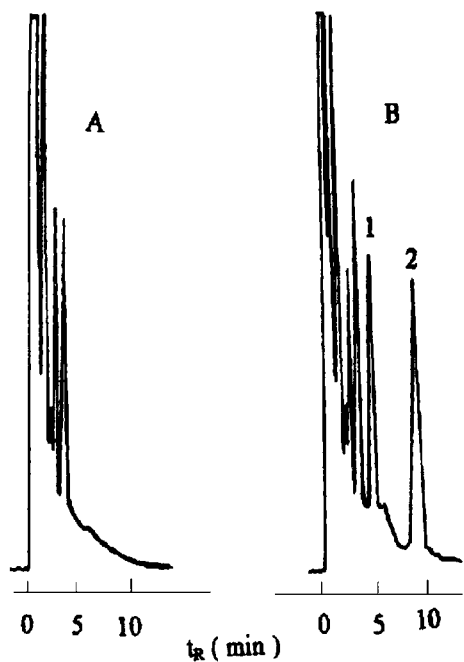


Fig 1 Chromatograms of felodipine in human plasma. A. Blank plasma; B. Plasma sample after oral administration of 10 mg felodipine tablets. Peak 1. Felodipine; Peak 2. Internal standard (nimodipine).

2 非洛地平的血浆标准曲线

准确配制浓度为 0.5, 1.0, 2.5, 5.0, 10.0 $\text{ng} \cdot \text{ml}^{-1}$ 的血浆标准品,按样品处理项下操作及色谱分离,计算样品峰高与内标峰高之比,以

峰高比 $Y (H_s/H_i)$ 为纵坐标,样品浓度 $C (\text{ng} \cdot \text{ml}^{-1})$ 为横坐标进行回归,得血浆中标准曲线: $Y = 0.0871 + 0.0549C$, $r = 0.9991$, 最低检测限为 $0.25 \text{ ng} \cdot \text{ml}^{-1}$ 。

3 方法回收率

在空白血浆 2.0 ml 中精密加入不同量的非洛地平标准液,并分别加入内标 $10 \mu\text{l}$ (20 ng),使非洛地平血浆浓度分别为 1.0, 2.5, 10.0 $\text{ng} \cdot \text{ml}^{-1}$,按前述方法处理测定后,与同浓度的标准对照品进行比较。结果非洛地平的回收率分别为 92.8%, 99.1%, 100.1%;平均回收率为 $97.3 \pm 4.0\%$ 。

4 精密度试验

配制含非洛地平为 1.0, 2.5, 10.0 $\text{ng} \cdot \text{ml}^{-1}$ 血浆样品 5 份,重复 5 d,按“血浆样品的处理与测定”项下操作,测得日内 RSD% 分别为 4.7%, 5.1%, 2.9% ($n = 5$), 日间 RSD% 分别为 8.62%, 6.7%, 7.9% ($n = 5$)。

5 药代动力学研究

测定 10 名健康志愿者 po 非洛地平片 10 mg 后的血药浓度,所得药一时数据用 3P87 程序按口服二房室模型进行处理,平均药一时曲线见图 2,其药动学参数见表 1。从图 2 及表 1 可看出 $T_{1/2\beta}$ 为 $16.09 \pm 6.07 \text{ h}$, $C_{\max} = 4.78 \pm 0.89 \text{ ng} \cdot \text{ml}^{-1}$, $T_{\max} = 2.01 \pm 0.63 \text{ h}$ 。

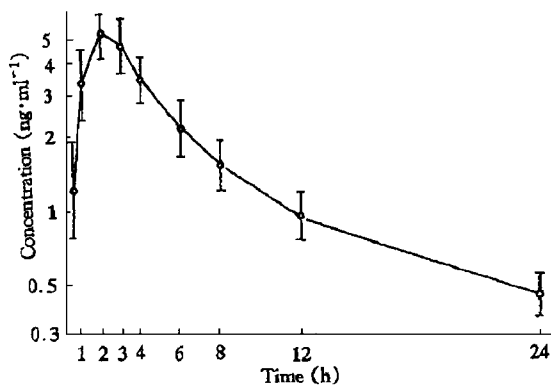


Fig 2 Mean drug plasma concentration-time curve of felodipine in ten healthy volunteers after oral administration of 10 mg.

Tab 1 Pharmacokinetic parameters of felodipine following a single oral dose of 10 mg in healthy volunteers ($n = 10$, $\bar{x} \pm s$)

Subjects	K_a (h^{-1})	$T_{1/2\alpha}$ (h)	$T_{1/2\beta}$ (h)	T_{\max} (h)	C_{\max} ($\text{ng} \cdot \text{ml}^{-1}$)	$AUC_{0 \rightarrow \infty}$ ($\text{h} \cdot \text{ng} \cdot \text{ml}^{-1}$)
1	0.43	0.81	17.79	2.10	4.34	47.48
2	0.64	0.74	9.17	2.10	3.79	48.63
3	0.28	1.47	11.69	3.30	4.61	72.76
4	0.59	0.67	10.73	1.80	6.03	45.81
5	0.31	0.96	19.31	2.70	3.64	42.34
6	0.57	0.27	12.25	1.20	5.80	40.09
7	0.59	0.74	28.45	1.80	5.64	32.24
8	0.26	0.22	22.90	1.20	4.69	30.99
9	0.84	0.77	13.22	1.80	3.86	40.47
10	0.43	0.90	15.42	2.10	5.40	50.85
$\bar{x} \pm s$	0.49 ± 0.18	0.76 ± 0.35	16.09 ± 6.07	2.01 ± 0.63	4.78 ± 0.89	45.17 ± 11.72

讨 论

非洛地平在血浆中的治疗浓度很低($1.1 \sim 7.5 \text{ ng} \cdot \text{ml}^{-1}$)^[2,3],而且血中杂质多,选择一种提取率高、杂质少、无干扰的提取剂非常重要。分别试验了环己烷—二氯甲烷、乙醚—二氯甲烷、乙醚—正己烷、正己烷—二氯甲烷的提取情况,结果以乙醚—正己烷($2:1, v/v$)为提取剂时提取率最高且杂质最少。提取时加入 $0.5 \text{ mol} \cdot \text{L}^{-1} \text{ NaOH}$,提取率下降;加入大量饱和 K_2CO_3 溶液,则容易引起乳化。故选择加入 K_2CO_3 溶液 $100 \mu\text{l}$ 碱化血浆,效果良好。

选择与非洛地平结构相似的尼莫地平为内标,在柱恒温状态下进行分析,分析周期短,定量准确,适合于体内药物浓度测定。

对 10 名健康志愿者单次 po 非洛地平的药代动力学研究表明,非洛地平片 po 后吸收较迅速,平均 2.01 h 达峰值,平均峰值浓度 $4.78 \pm 0.89 \text{ ng} \cdot \text{ml}^{-1}$,非洛地平在人体内迅速分布, $T_{1/2\alpha}$ 仅为 0.76 h 左右,而 $T_{1/2\beta}$ 较长,平均为 16.09 h。动力学行为规则符合二房室模型,与文献^[4,6]报道相近。但比文献^[5]报道的 po 20 mg 非洛地平缓释片后的半衰期为

$10.3 \pm 2.8 \text{ h}$ 较长,说明非洛地平在不同人种中有差异。

参 考 文 献

- 徐晋. Felodipine-新型降压药. 中国药理学通报, 1990, **6**:52
- 刘泉林, 刘静, 沈文娟. 新型钙通道阻滞剂非洛地平的药理和临床应用. 国外医药合成药生化药制剂分册, 1991, **12**:96
- 徐积恩. 非洛地平. 中国新药杂志, 1992, **1**:26
- Nishioka R, Umeda I, Qi Nb. Determination of felodipine and its metabolites in plasma using capillary gas chromatography with electron-capture detection and their identification by gas chromatography-mass spectrometry. *J Chromatogr Biomed Appl*, 1991, **565**:237
- Soos PA, Roosmalen MCM, Breimer DD. Enantioselective determination of felodipine and other chiral dihydropyridine calcium entry blockers in human plasma. *J Chromatogr Biomed Appl*, 1990, **528**:343
- Dru JD, Hsieh JY, Matuszewski BK, et al. Determination of felodipine, its enantiomers, and a pyridine metabolite in human plasma by capillary gas chromatography with mass-spectrometric detection. *J Chromatogr Biomed Appl*, 1995, **666**:259

DETERMINATION OF FELODIPINE CONCENTRATION IN HUMAN PLASMA BY GC-ECD AND STUDY OF ITS PHARMACOKINETICS

Yang Lili(Yang LL), Yuan Yisheng(Yuan YS) and Dai Xiaoli(Dai XL)

(Department of Instrumental Analysis, Nanjing General Hospital of PLA, Nanjing 210002)

ABSTRACT A rapid, accurate and sensitive gas chromatographic method using electron-capture detector (GC-ECD) was developed for the determination of felodipine concentration in human plasma. Nimodipine was used as internal standard. The plasma samples were extracted using a mixtrure of ethyl ether and n-hexane (2:1) to give mean recoveries of 97.3% of felodipine. The extracts were separated by a 5% SE-30 glass packed column (2 m×3 mm). The detection limits for felodipine was 0.25 ng·ml⁻¹. The precisions (RSD%, n=5) of within-day and day-to-day were less than 5.09% and 8.62%, respectively. The pharmacokinetic parameters of felodipine in ten men were investigated by this method. The concentration-time curve was fitted to a two-compartment model. Its main pharmacokinetic parameters were: $T_{1/2\alpha}=0.76$ h, $T_{1/2\beta}=16.09$ h, $C_{max}=4.78$ ng·ml⁻¹, $T_{max}=2.01$ h, $AUC=45.2$ h·ng·ml⁻¹.

KEY WORDS Felodipine; GC-ECD; Pharmacokinetics